

# 일반물리실험 보고서

대학	학부(과)	실험실:
실험조:	조	실험자:
담당교수:		학 번:
담당조교:		공동실험자:
실험일자:	년 월 일	

## 운동량 보존 법칙

### 1. 목 적

두 개의 쇠 공을 충돌시킬 때 충돌 전후의 속도를 측정하여 운동량이 보존됨을 확인한다.

### 2. 실험 기구

2차원 충돌실험장치, 짐쇠(Clamp), 줄자, 실, 수직기, 쇠막대자 2개, 쇠 공 2개, 먹지, 흰 종이, 고무판

### 3. 이 론

질량이  $m_i$ 이고 속도가  $\vec{v}_i$ 인  $N$  개의 입자로 구성된 계의 총 운동량  $\vec{P}$  는 각 입자의 운동량의 합이고, 이것을 식으로 표현하면

$$\vec{P} = \sum_{i=1}^N \vec{P}_i = \sum_{i=1}^N m_i \vec{v}_i$$

이다. 이 계에 작용하는 총 외력  $\vec{F}_{ext} = 0$  인 경우

$$\frac{d\vec{P}}{dt} = \vec{F}_{ext} = 0$$

로부터

$$\vec{P} = \sum_{i=1}^N \vec{P}_i = \text{일정}$$

이다. 외력이 작용하지 않으면 입자계의 총 운동량은 항상 일정하다는 것이 운동량 보존법칙이다.

그림 1과 같이 질량이  $m_1$ 이고 초기속도  $\vec{v}_1$ 인 입자가 정지해 있는 질량  $m_2$ 인 입자와 2차원 충돌을 하는 계에서 운동량 보존법칙은 다음과 같다.

$$\vec{P}_1 + \vec{P}_2 = \vec{P}'_1 + \vec{P}'_2$$

$$m_1\vec{v}_1 + 0 = m_1\vec{v}'_1 + m_2\vec{v}'_2$$

여기서  $x, y$ 축에 대한 성분식으로 표시하면

$$x \text{ 성분: } m_1v_1 = m_1v'_1 \cos \theta_1 + m_2v'_2 \cos \theta_2$$

$$y \text{ 성분: } 0 = m_1v'_1 \sin \theta_1 - m_2v'_2 \sin \theta_2$$

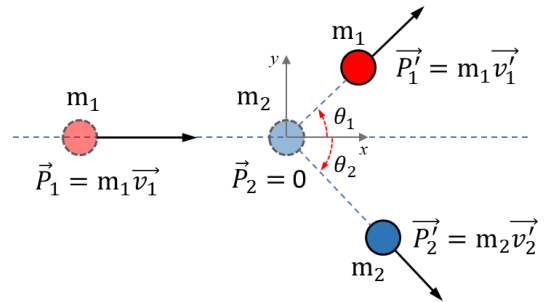


그림 1. 탄성충돌

의 관계가 성립된다.

두 쇠 공의 질량이 같고 탄성 충돌인 경우에는  $\theta_1 + \theta_2 = 90^\circ$  인 관계가 성립한다.

#### 4. 측정값

##### 4.1. 충돌위치의 높이 $h$ , 쇠 공 $m_1, m_2$ 의 질량 측정 및 체공시간 계산

높이 $h$ (m)	쇠공의 질량 (g)		체공시간 $t$ (s)
	$m_1$	$m_2$	

◦ 체공 시간:  $t = \sqrt{\frac{2h}{g}}$

◦ 속력:  $v = \frac{x}{t} = \frac{x}{\sqrt{\frac{2h}{g}}} = \sqrt{\frac{g}{2h}} x$

◦ 각도:  $\theta = \tan^{-1} \frac{y}{x}$

##### 4.2. 충돌 전 $m_1$ 의 초기 위치 상, 중, 하일 때의 이동거리

측정 횟수	$x$ (m)		
	상	중	하
1			
2			
3			
4			
5			
6			
7			
8			
9			
10			

4.3. 충돌 후  $m_1, m_2$ 의 위치 측정

4.3.1.  $m_1$ 의 초기위치 상일 때

측정 횟수	$m_1$		$m_2$	
	$x_1(m)$	$y_1(m)$	$x_2(m)$	$y_2(m)$
1				
2				
3				
4				
5				
6				
7				
8				
9				
10				

4.3.2.  $m_1$ 의 초기위치 중일 때

측정 횟수	$m_1$		$m_2$	
	$x_1(m)$	$y_1(m)$	$x_2(m)$	$y_2(m)$
1				
2				
3				
4				
5				
6				
7				
8				
9				
10				

4.3.3.  $m_1$ 의 초기위치 하일 때

측정 횟수	$m_1$		$m_2$	
	$x_1(m)$	$y_1(m)$	$x_2(m)$	$y_2(m)$
1				
2				
3				
4				
5				
6				
7				
8				
9				
10				

## 5. 계산

### 5.1. 초기위치 상, 중, 하에서 충돌 전 $m_1$ 의 속도 $v_1$

횟수	$v_1$ (m/s)		
	상	중	하
1			
2			
3			
4			
5			
6			
7			
8			
9			
10			
합계			
평균			
$\sigma$			
$\sigma_m$			
$\epsilon_m$			

※ ◦ 속도:  $v = \frac{x}{t} = \frac{x}{\sqrt{\frac{2h}{g}}} = \sqrt{\frac{g}{2h}} x$

◦ 각도:  $\theta = \tan^{-1} \frac{y}{x}$

◦ 표준편차:  $\sigma = \sqrt{\frac{\sum \rho_i^2}{n-1}}$

◦ 표준오차:  $\sigma_m = \sqrt{\frac{\sum \rho_i^2}{n(n-1)}} = \frac{\sigma}{\sqrt{n}}$

◦ 확률오차:  $\epsilon_m = 0.6745 \sigma_m$

### 5.2. 충돌 후 $m_1, m_2$ 의 이동거리, 속도 및 각도

#### 5.2.1. 초기위치 상

횟수	$m_1$			$m_2$		
	$s_1$ (m)	$v_1'$ (m/s)	$\theta_1$ (°)	$s_2$ (m)	$v_2'$ (m/s)	$\theta_2$ (°)
1						
2						
3						
4						
5						
6						
7						
8						
9						
10						
합계						
평균						
표준편차 ( $\sigma$ )						
표준오차 ( $\sigma_m$ )						
확률오차 ( $\epsilon_m$ )						

5.2.2. 초기위치 중

횟수	m <sub>1</sub>			m <sub>2</sub>		
	s <sub>1</sub> (m)	v' <sub>1</sub> (m/s)	θ <sub>1</sub> (°)	s <sub>2</sub> (m)	v' <sub>2</sub> (m/s)	θ <sub>2</sub> (°)
1						
2						
3						
4						
5						
6						
7						
8						
9						
10						
합계	X			X		
평균				X		
표준편차 (σ)				X		
표준오차 (σ <sub>m</sub> )				X		
확률오차 (ε <sub>m</sub> )				X		

※ ◦ 속력:  $v = \frac{x}{t} = \frac{x}{\sqrt{\frac{2h}{g}}} = \sqrt{\frac{g}{2h}} x$ ,    ◦ 각도:  $\theta = \tan^{-1} \frac{y}{x}$

◦ 표준편차:  $\sigma = \sqrt{\frac{\sum \rho_i^2}{n-1}}$ ,    ◦ 표준오차:  $\sigma_m = \sqrt{\frac{\sum \rho_i^2}{n(n-1)}} = \frac{\sigma}{\sqrt{n}}$ ,    ◦ 확률오차:  $\epsilon_m = 0.6745 \sigma_m$

5.2.3. 초기위치 하

횟수	m <sub>1</sub>			m <sub>2</sub>		
	s <sub>1</sub> (m)	v' <sub>1</sub> (m/s)	θ <sub>1</sub> (°)	s <sub>2</sub> (m)	v' <sub>2</sub> (m/s)	θ <sub>2</sub> (°)
1						
2						
3						
4						
5						
6						
7						
8						
9						
10						
합계	X			X		
평균				X		
표준편차 (σ)				X		
표준오차 (σ <sub>m</sub> )				X		
확률오차 (ε <sub>m</sub> )				X		

## 6. 실험 결과

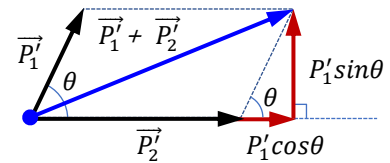
6.1. 쇠공  $m_1, m_2$ 의 충돌 전후 속도  $v_1, v'_1, v'_2$  및 충돌 후 각도  $\theta_1, \theta_2$

초기 위치	충돌 전	충돌 후			
	$v_1$ (m/s)	$v'_1$ (m/s)	$\theta_1$ (°)	$v'_2$ (m/s)	$\theta_2$ (°)
상					
중					
하					

6.2. 충돌 전후의 운동량

초기 위치	쇠공		충돌 전	충돌 후			충돌전후 운동량 차	
	$m_1$ (kg)	$m_2$ (kg)	$P_1$ (kg·m/s)	$P'_1$ (kg·m/s)	$P'_2$ (kg·m/s)	$\theta_1 + \theta_2$ (°)	$P'_1 + P'_2$ (kg·m/s)	$P_1 - (P'_1 + P'_2)$ (kg·m/s)
상								
중								
하								

※  $\vec{P}'_1 + \vec{P}'_2 = \sqrt{P_1'^2 + P_2'^2 + 2P_1'P_2' \cdot \cos\theta}$ ,  $\theta = \theta_1 + \theta_2$



6.2.1. 운동량  $x$ 성분

초기 위치	쇠공		충돌 전	충돌 후			충돌전후 운동량 차
	$m_1$ (kg)	$m_2$ (kg)	$P_{1x}$ (kg·m/s)	$P'_{1x}$ (kg·m/s)	$P'_{2x}$ (kg·m/s)	$P'_{1x} + P'_{2x}$ (kg·m/s)	$P_{1x} - (P'_{1x} + P'_{2x})$ (kg·m/s)
상							
중							
하							

6.2.2. 운동량  $y$ 성분

초기 위치	쇠공		충돌 전	충돌 후			충돌전후 운동량 차
	$m_1$ (kg)	$m_2$ (kg)	$P_{1y}$ (kg·m/s)	$P'_{1y}$ (kg·m/s)	$P'_{2y}$ (kg·m/s)	$P'_{1y} - P'_{2y}$ (kg·m/s)	$P_{1y} - (P'_{1y} + P'_{2y})$ (kg·m/s)
상							
중							
하							

## 7. 토의 및 검토

- 1) 충돌 전후 속력  $v_1, v_1', v_2'$  및 충돌 후 각도  $\theta_1, \theta_2$ 가 얼마나 정밀하게 측정되었는지 고찰해 본다.
- 2) 결과값들을 토대로 운동량보존법칙에 대해 논의해 본다.

## 8. 결론